

Starkniederschlagshöhen und -spenden gemäß KOSTRA-DWD-2020

Rasterfeld 89180

(Zeile 89, Spalte 180)

Regenspende und Bemessungsniederschlagswerte in Abhängigkeit von Wiederkehrzeit T und Dauerstufe D

| Dauerstufe D | | Wiederkehrzeit T | | | | | | | | | | | | | | | | | |
|--------------|-----|------------------|------------|------|------------|------|------------|------|------------|------|------------|-------|------------|-------|------------|-------|------------|-------|------------|
| | | 1 a | | 2 a | | 3 a | | 5 a | | 10 a | | 20 a | | 30 a | | 50 a | | 100 a | |
| min | Std | mm | l / (s ha) | mm | l / (s ha) | mm | l / (s ha) | mm | l / (s ha) | mm | l / (s ha) | mm | l / (s ha) | mm | l / (s ha) | mm | l / (s ha) | mm | l / (s ha) |
| 5 | | 6,3 | 210,0 | 7,9 | 263,3 | 9,0 | 300,0 | 10,3 | 343,3 | 12,2 | 406,7 | 14,2 | 473,3 | 15,5 | 516,7 | 17,2 | 573,3 | 19,6 | 653,3 |
| 10 | | 8,3 | 138,3 | 10,4 | 173,3 | 11,7 | 195,0 | 13,5 | 225,0 | 16,0 | 266,7 | 18,6 | 310,0 | 20,3 | 338,3 | 22,5 | 375,0 | 25,7 | 428,3 |
| 15 | | 9,5 | 105,6 | 11,9 | 132,2 | 13,4 | 148,9 | 15,4 | 171,1 | 18,3 | 203,3 | 21,3 | 236,7 | 23,2 | 257,8 | 25,8 | 286,7 | 29,5 | 327,8 |
| 20 | | 10,3 | 85,8 | 13,0 | 108,3 | 14,7 | 122,5 | 16,9 | 140,8 | 20,0 | 166,7 | 23,3 | 194,2 | 25,4 | 211,7 | 28,2 | 235,0 | 32,2 | 268,3 |
| 30 | | 11,6 | 64,4 | 14,6 | 81,1 | 16,5 | 91,7 | 18,9 | 105,0 | 22,5 | 125,0 | 26,1 | 145,0 | 28,5 | 158,3 | 31,6 | 175,6 | 36,1 | 200,6 |
| 45 | | 12,9 | 47,8 | 16,3 | 60,4 | 18,4 | 68,1 | 21,1 | 78,1 | 25,1 | 93,0 | 29,1 | 107,8 | 31,8 | 117,8 | 35,3 | 130,7 | 40,3 | 149,3 |
| 60 | 1 | 13,9 | 38,6 | 17,6 | 48,9 | 19,8 | 55,0 | 22,8 | 63,3 | 27,0 | 75,0 | 31,4 | 87,2 | 34,3 | 95,3 | 38,0 | 105,6 | 43,4 | 120,6 |
| 90 | 1,5 | 15,4 | 28,5 | 19,5 | 36,1 | 21,9 | 40,6 | 25,2 | 46,7 | 29,9 | 55,4 | 34,8 | 64,4 | 38,0 | 70,4 | 42,1 | 78,0 | 48,1 | 89,1 |
| 120 | 2 | 16,6 | 23,1 | 20,9 | 29,0 | 23,6 | 32,8 | 27,1 | 37,6 | 32,1 | 44,6 | 37,3 | 51,8 | 40,7 | 56,5 | 45,2 | 62,8 | 51,6 | 71,7 |
| 180 | 3 | 18,3 | 16,9 | 23,0 | 21,3 | 26,0 | 24,1 | 29,9 | 27,7 | 35,4 | 32,8 | 41,2 | 38,1 | 45,0 | 41,7 | 49,9 | 46,2 | 57,0 | 52,8 |
| 240 | 4 | 19,6 | 13,6 | 24,7 | 17,2 | 27,9 | 19,4 | 32,0 | 22,2 | 38,0 | 26,4 | 44,1 | 30,6 | 48,2 | 33,5 | 53,5 | 37,2 | 61,0 | 42,4 |
| 360 | 6 | 21,6 | 10,0 | 27,2 | 12,6 | 30,7 | 14,2 | 35,2 | 16,3 | 41,8 | 19,4 | 48,6 | 22,5 | 53,1 | 24,6 | 58,9 | 27,3 | 67,2 | 31,1 |
| 540 | 9 | 23,8 | 7,3 | 29,9 | 9,2 | 33,8 | 10,4 | 38,8 | 12,0 | 46,0 | 14,2 | 53,5 | 16,5 | 58,4 | 18,0 | 64,8 | 20,0 | 74,0 | 22,8 |
| 720 | 12 | 25,4 | 5,9 | 32,0 | 7,4 | 36,1 | 8,4 | 41,5 | 9,6 | 49,3 | 11,4 | 57,3 | 13,3 | 62,5 | 14,5 | 69,4 | 16,1 | 79,2 | 18,3 |
| 1080 | 18 | 28,0 | 4,3 | 35,2 | 5,4 | 39,7 | 6,1 | 45,7 | 7,1 | 54,2 | 8,4 | 63,0 | 9,7 | 68,7 | 10,6 | 76,3 | 11,8 | 87,1 | 13,4 |
| 1440 | 24 | 29,9 | 3,5 | 37,7 | 4,4 | 42,5 | 4,9 | 48,9 | 5,7 | 58,0 | 6,7 | 67,4 | 7,8 | 73,5 | 8,5 | 81,6 | 9,4 | 93,2 | 10,8 |
| 2880 | 48 | 35,2 | 2,0 | 44,3 | 2,6 | 50,0 | 2,9 | 57,5 | 3,3 | 68,2 | 3,9 | 79,3 | 4,6 | 86,5 | 5,0 | 96,0 | 5,6 | 109,6 | 6,3 |
| 4320 | 72 | 38,7 | 1,5 | 48,7 | 1,9 | 55,0 | 2,1 | 63,2 | 2,4 | 75,0 | 2,9 | 87,1 | 3,4 | 95,1 | 3,7 | 105,5 | 4,1 | 120,5 | 4,6 |
| 5760 | 96 | 41,4 | 1,2 | 52,1 | 1,5 | 58,8 | 1,7 | 67,6 | 2,0 | 80,2 | 2,3 | 93,2 | 2,7 | 101,7 | 2,9 | 112,9 | 3,3 | 128,9 | 3,7 |
| 7200 | 120 | 43,6 | 1,0 | 54,9 | 1,3 | 62,0 | 1,4 | 71,2 | 1,6 | 84,5 | 2,0 | 98,2 | 2,3 | 107,2 | 2,5 | 118,9 | 2,8 | 135,8 | 3,1 |
| 8640 | 144 | 45,5 | 0,9 | 57,3 | 1,1 | 64,6 | 1,2 | 74,3 | 1,4 | 88,2 | 1,7 | 102,5 | 2,0 | 111,8 | 2,2 | 124,1 | 2,4 | 141,7 | 2,7 |
| 10080 | 168 | 47,1 | 0,8 | 59,4 | 1,0 | 67,0 | 1,1 | 77,0 | 1,3 | 91,4 | 1,5 | 106,2 | 1,8 | 115,9 | 1,9 | 128,6 | 2,1 | 146,9 | 2,4 |

Starkniederschlagshöhen und -spenden gemäß KOSTRA-DWD-2020

Rasterfeld 89180

(Zeile 89, Spalte 180)

Örtliche Unsicherheiten in Abhängigkeit von Wiederkehrzeit T und Dauerstufe D

| Dauerstufe D | | Wiederkehrzeit T | | | | | | | | |
|--------------|-----|------------------|-----|-----|-----|------|------|------|------|-------|
| | | 1 a | 2 a | 3 a | 5 a | 10 a | 20 a | 30 a | 50 a | 100 a |
| min | Std | ± % | ± % | ± % | ± % | ± % | ± % | ± % | ± % | ± % |
| 5 | | 13 | 13 | 13 | 13 | 13 | 14 | 14 | 15 | 15 |
| 10 | | 12 | 14 | 15 | 16 | 17 | 18 | 18 | 19 | 19 |
| 15 | | 14 | 16 | 17 | 18 | 19 | 20 | 21 | 21 | 22 |
| 20 | | 15 | 17 | 18 | 19 | 20 | 21 | 22 | 22 | 23 |
| 30 | | 15 | 18 | 19 | 20 | 21 | 22 | 23 | 24 | 24 |
| 45 | | 15 | 18 | 19 | 20 | 22 | 23 | 23 | 24 | 25 |
| 60 | 1 | 15 | 18 | 19 | 20 | 22 | 23 | 23 | 24 | 25 |
| 90 | 1,5 | 15 | 17 | 18 | 20 | 21 | 22 | 23 | 24 | 24 |
| 120 | 2 | 14 | 17 | 18 | 19 | 21 | 22 | 22 | 23 | 24 |
| 180 | 3 | 14 | 16 | 17 | 18 | 20 | 21 | 21 | 22 | 23 |
| 240 | 4 | 13 | 15 | 17 | 18 | 19 | 20 | 21 | 21 | 22 |
| 360 | 6 | 13 | 15 | 16 | 17 | 18 | 19 | 20 | 20 | 21 |
| 540 | 9 | 12 | 14 | 15 | 16 | 17 | 18 | 19 | 19 | 20 |
| 720 | 12 | 12 | 14 | 15 | 16 | 17 | 18 | 18 | 19 | 19 |
| 1080 | 18 | 12 | 13 | 14 | 15 | 16 | 17 | 17 | 18 | 19 |
| 1440 | 24 | 13 | 13 | 14 | 15 | 16 | 17 | 17 | 18 | 18 |
| 2880 | 48 | 14 | 14 | 15 | 15 | 16 | 16 | 17 | 17 | 18 |
| 4320 | 72 | 15 | 15 | 15 | 16 | 16 | 17 | 17 | 17 | 18 |
| 5760 | 96 | 17 | 16 | 16 | 16 | 17 | 17 | 17 | 17 | 18 |
| 7200 | 120 | 17 | 17 | 17 | 17 | 17 | 17 | 17 | 18 | 18 |
| 8640 | 144 | 18 | 17 | 17 | 17 | 17 | 18 | 18 | 18 | 18 |
| 10080 | 168 | 19 | 18 | 18 | 18 | 18 | 18 | 18 | 18 | 18 |

Parameter für abweichende T und D

Lokationsparameter ξ (Xi)

14,26862196

Skalenparameter α (Alpha)

5,16210324

Formparameter κ (Kappa)

-0,1

1. Koutsoyiannis-Parameter θ (Theta)

0,0300996

2. Koutsoyiannis-Parameter η (Eta)

0,76657183

Parameter für dauerstufenübergreifende Extremwertschätzung nach KOUTSOYIANNIS et al. 1998.

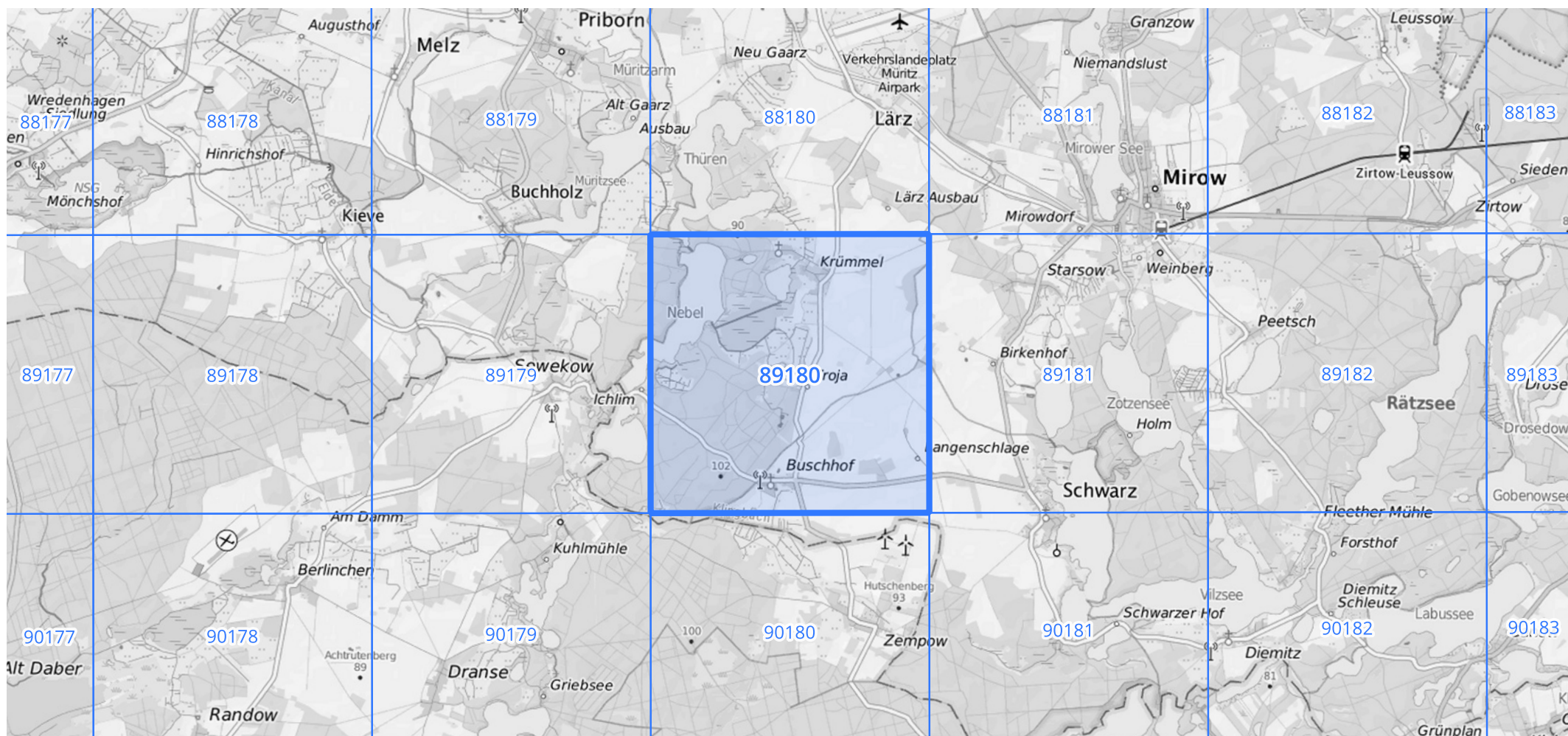
Siehe auch Anwendungshilfe zu KOSTRA-DWD-2020 des Deutschen Wetterdienstes.

Starkniederschlagshöhen und -spenden gemäß KOSTRA-DWD-2020

Rasterfeld 89180

(Zeile 89, Spalte 180)

Übersichtskarte des Rasterfeldes 89180, M 1 : 100 000



Quelle Rasterdaten: KOSTRA-DWD-2020 des Deutschen Wetterdienstes, Stand 12/2022.

Seite 3 von 3

Kartendarstellung: © Bundesamt für Kartographie und Geodäsie (2023), Datenquellen: https://sgx.geodatenzentrum.de/web_public/gdz/datenquellen/Datenquellen_TopPlusOpen.html

Für die Richtigkeit und Aktualität der Angaben wird keine Gewähr übernommen. Erstellt 01/2023.